

16 CF, facteurs aux complexes,
étude de validation d'une méthode de signer des textes, des
rêves, etc. Psychologiquement aux études des cas et littérature
*aux éclaircissements valides de 13 facteurs en empirie
expérimentale entre 16 facteurs décrites, (plus des 4
dimensions aussi chaque singulièrement des très reliables et
encore de surplus aux variations possibles d'après des
théories éprouvés en science de psychologie,
d'après des signés (RUN = 1801) par l'auteur
et aux N = 176 personnes,*
approuvé, écrit, traduit, et lu par l'auteur
Kurt-Wilhelm Laufs, ©

2010-02-21, rev. 2010-04-05; rev. 2010-05-28, 2010-09-04, 2010-12-09, 2010-12-29, 2010-12-31, 2011-06-25, 2012-02-26, 2013-01-19,
2014-11-27, ©

*1. Des signées aux textes
comme cas vers types ou
facteurs configurées.*

Pragmatiquement ensuite de
la théorie de la science de
psychologie, q'on mettraiet
structuralement des signées
aux cas, aux analyses aux
textes par chaque sentence
(séquence) comme numéro
des unités de reponse (RUN)
après des conceptions d'
appétition (Gf, good feeling,
impressions agréables), de l'
aversion (Au, authoritarian,
impressions désagréables,
sombres), du défense (Aw,
Abwehr, défense, aussi auto-

déterminations), et avec de
l'ambivalence (Amb, pas
seulement en sense freudien
de mécanismes de défense,
mais surtout aussi en sense
d'originalité créative d'après
J. P. Sartre).

On donne aux signées des
dimensions Gf, Au, Aw,
Amb, par y mettre un plus
(+) ou minus (-) pour chaque
RUN (aussi NUR).

Chez N = 176 personnes
avec RUN = 1891 signées l'
auteur trouve 13 types ou
facteurs entre 16 types en
quatre-configurations. Main-
tenant ce travail montre un
éclaircissement de ~ 81 %

aux 4-configurations.
 Les quatre dimensions psychologiques derrière des facteurs aux 4-configurées apparaissent stable aux consistances aux signées.
 Chez signées aux transcrits, recordés aux scéances psychologiques ou aux

autres textes, l'auteur recommande aux cas doutes comme une règle de priorité y mettre des signées plus pour tout les deux Aw avec Amb (--++ , transférance ; Gf minus et Au minus, Aw plus et Amb plus).

*Table 1.1: Interpretationen von Komplex-Faktoren (16 KF) -
 Interprétations aux complex-facteurs (16 CF); RUN = 1497*

| 16 Configurations aux CF | | | | % | No. Faktoren-Interpretation (KF) | no. CF (facteurs) |
|--------------------------|----|----|-----|----|---|---|
| Gf | Au | Aw | Amb | | | |
| + | + | + | + | 17 | 1. klassisch-neurotischer Konfl., Appetenz-Aversions-Konflikt | 1. conflit d'appétition- aversion |
| + | + | + | - | 0 | 2. (o.B.): neurotischer Starrsinn (hypothetisch) | 2. (hypothétiquement) |
| + | + | - | + | 0 | 3. (o.B.): sensitiver Appetenz-Aversions- Konflikt (hypoth.) | 3. (hyp.) |
| + | + | - | - | 1 | 4. reiner (starrsinniger) Appetenz-Aversions- Konflikt | 4. conflit d'appétition- aversion obstiné |
| + | - | + | + | 8 | 5. narzisstischer Appetenz-Konflikt | 5. conflict narcissme d'appétition |
| + | - | + | - | 1 | 6. narzisstischer Starrsinn | 6. narcissme obstiné |
| + | - | - | + | 1 | 7. appetent sensitive Euphorie | 7. appetent-sensitive- euphorique |
| + | - | - | - | 10 | 8. soziales Lernen | 8. apprentissage sociale |
| - | + | + | + | 12 | 9. Aversions-Konflikt | 9. conflit d'aversion |
| - | + | + | - | 1 | 10. aversiv- autoritärer Starrsinn | 10. obstiné et aversive de rigidité |
| - | + | - | + | 4 | 11. sensitiver Aversions- Konflikt, phobisch, (anamnestisch phobischer Auslöser) | 11. sensitive aversive, conflit, phobique, (phobic cue) |
| - | + | - | - | 1 | 12. reine Aversion, existentielle Bedrohung | 12. pure aversion, péril existantiel |
| - | - | + | + | 12 | 13. Übertragung, abwehrende Selbst- Behauptung mit kreativer Originalität | 13. transference, self defense avec d' intelligence creative, originalité |
| - | - | + | - | 0 | 14. reine, starre Abwehr, Selbst-Behauptung | 14. (hyp.) |
| - | - | - | + | 2 | 15. reine Ambivalenz, (kon-) fabulatorisch, feldabhängig nicht abwehrende Originalität, (kreative Intelligenz) | 15. pure ambivalence (con-) fabulations, moins objective en originalité creative, sauf mechanisme de defense |
| - | - | - | - | 4 | 16. Aufgeben, Selbstaufgabe, Bürokratismus, Blahblah, („Selbst-Verleugnung“ bei Sartre) | 16. désespération, beaurocratisme, self-deniement, (désaveu de soi même) |

Table 1.1. montre des types aux 4-configurations aux pourcentages arrondis avec des interprétations aux facteurs, N = 18 analyses aux textes avec RUN ~ 1497.

Tab. 1.2 montre des hautes sélectivités chez un coefficient d'une consistance de $r_{tet} > .96$ ($\alpha < 0,001$),

pour un éclaircissement de 75% au début et pour tout les facteurs (100% CF) avec des hypothétiques un coefficient $r_{tet} > .72$ ($\alpha < 0,05$). Première validation par de la reliabilité d'après Cronbach, $\alpha < .645$, pour une épreuve alternante aux RUN = 1801, N = 176.

Table 1.2.: sélectivités CF; première épreuve Tab. 1.1, pourcentages chez 12 entre 16 CF, N = 1497, corrélations tetrachoriques, solutions géométriques.

| CF No. | | 01. | 02. | 03. | 04. | 05. | 06. | 07. | 08. | 09. | 10. | 11. | 12. | 13. | 14. | 15. | 16. | |
|---------|--------------|-----|-----|-----|-----|-----|-----|-----|-----|-----|-----|-----|-----|-----|-----|-----|-----|-------|
| | % | 17 | 0 | 0 | 1 | 8 | 1 | 1 | 10 | 12 | 1 | 4 | 1 | 12 | 0 | 2 | 4 | % inf |
| | r_{tet} | | | | | | | | | | | | | | | | | |
| | % | | | | | | | | | | | | | | | | | |
| 1. | 17 | -- | | | .99 | .96 | .99 | .99 | .95 | .94 | .99 | .97 | .99 | .94 | | .98 | .97 | |
| 2. | 0 | | -- | | | | | | | | | | | | | | | |
| 3. | 0 | | | -- | | | | | | | | | | | | | | |
| 4. | 1 | .90 | | | -- | .96 | .99 | .99 | .95 | .94 | .99 | .97 | .99 | .94 | | .98 | .97 | |
| 5. | 8 | .90 | | | .99 | -- | .99 | .99 | .95 | .94 | .99 | .97 | .99 | .94 | | .98 | .97 | |
| 6. | 1 | .90 | | | .99 | .96 | -- | .99 | .95 | .94 | .99 | .97 | .99 | .94 | | .98 | .97 | |
| 7. | 1 | .90 | | | .99 | .96 | .99 | -- | .95 | .94 | .99 | .97 | .99 | .94 | | .98 | .97 | |
| 8. | 10 | .90 | | | .99 | .96 | .99 | .99 | -- | .94 | .99 | .97 | .99 | .94 | | .98 | .97 | |
| 9. | 12 | .90 | | | .99 | .96 | .99 | .99 | .95 | -- | .99 | .97 | .99 | .94 | | .98 | .97 | |
| 10. | 1 | | | | | | | | | -- | | | | | | | | |
| 11. | 4 | .90 | | | .99 | .96 | .99 | .99 | .95 | .94 | .99 | -- | .99 | .94 | | .98 | .97 | |
| 12. | 1 | .90 | | | .99 | .96 | .99 | .99 | .95 | .94 | .99 | .97 | -- | .94 | | .98 | .97 | |
| 13. | 12 | .90 | | | .99 | .96 | .99 | .99 | .95 | .94 | .99 | .97 | .99 | -- | | .98 | .97 | |
| 14. | 0 | | | | | | | | | | | | | -- | | | | |
| 15. | 2 | .90 | | | .99 | .96 | .99 | .99 | .95 | .94 | .99 | .97 | .99 | .94 | | -- | .97 | |
| 16. | 4 | .90 | | | .99 | .96 | .99 | .99 | .95 | .94 | .99 | .97 | .99 | .94 | | .98 | -- | |
| CF sup. | % (arrondis) | | | | | | | | | | | | | | | | | |

consistance CF13 coefficient $r_{tet} > .96^{***}$

2. Validation aux hautes sélectivités : Pour N = 18 cas différentes (sauf regard

de haute numéro de RUN = 1497) une première étude montre surtout des hautes

intercorrelations aux hautes significances aux coefficients de $r_{tet} > .96^{***}$ pour 13 facteurs, d'après des signées de la première épreuve : 2 cas MCD avec de la phobie; 5 cas décrites chez Desoille; Laufs' nouvelles construis „Grinsende Mona Lisa“ et „Abaddon“ 1, 2...7, et des cas diverses (dans ; Laufs, K.-W., 1989 : „Paraplexis“. Klotz, Frankfurt/M.); aussi deux drames de J. P. Sartre, préface de U. Meinhof dans leur drame « Bambule », 1972, 5th ed., Wagenbach, Berlin.

Ensuite une autre étude de validation, la consistance montre $r_{tet} \sim .75^{***}$ ($\alpha < 0,001$), sur des stéréotypes nationaux entre des néerlandaises et des allemands (WEB-site de l'auteur, fenêtre et attachements « Between Individual & Mass“ III), aux RUN = 304 et personnes N = 158 apparaît valide avec au coefficient $r_{tet} \sim .75^{***}$. Au suivant pour une analyse aux composantes comme méthode c'est qu'on prends 2 épreuves de RUN 1497 + RUN 304 = RUN 1801.

Table 2.1.1: inter-correlations aux dimensions et communalités

| | Gf | Au | Aw | Amb | communalités début | extrait |
|-----|-------|-------|-------|-------|--------------------|---------|
| Gf | - | -.772 | -.301 | -.834 | 1,000 | .994 |
| Au | -.772 | - | -.293 | .943 | 1,000 | .956 |
| Aw | -.301 | -.293 | - | -.276 | 1,000 | .997 |
| Amb | -.834 | .943 | -.276 | - | 1,000 | .984 |

Table 2.1.2: éclaircissement aux composantes ~ 98 %

| composante | rotations aux sommations aux charges en carrés | | | (EW début) | (variance totale %) |
|------------|--|------------|--------------|------------|---------------------|
| | valeur propre (EW) | variance % | cumulation % | | |
| F 1 | 2,705 | 67,625 | 67,625 | (2,718) | (67,950) |
| F 2 | 1,226 | 30,647 | 98,272 | (1,213) | (30,322) |
| F 3 (Rest) | (entfällt) | - | - | (0,069) | (1,728) |

Table 2.1.3. matrice aux composantes

| | F 1 | F 2 |
|-----|-------|-------|
| Gf | -.884 | -.461 |
| Au | .967 | -.143 |
| Aw | -.169 | .984 |
| Amb | .973 | -.104 |

Table 2.1.4. rotations aux composantes

| | F 1 (phobie) | F 2 (défense) |
|-----|--------------|---------------|
| Gf | -.923 | -.377 |
| Au | .950 | -.233 |
| Aw | -.077 | .996 |
| Amb | .973 | -.196 |

Table 2.1.5: transformations aux composantes

| | F 1 | F 2 |
|-----|------|-------|
| F 1 | .996 | -.093 |
| F 2 | .093 | .996 |

L'analyse affirme avec 2 composantes principales (F 1 „phobie“, $-+ -+$, et F 2 „défense“, $-- + -$ mit Aw) la bontété de la science de psychologie théoriquement aux signées déductives de la conception d'auteur, à l'égard des dimensions d'appétition (Gf), d'aversion (Au), du défense (Aw) et d'ambivalence (Amb).

16 types après des combinaisons (table 1.1) comme 4 – configurations aux 4 dimensions psychologiques (chez RUN = 1801) montrent aux

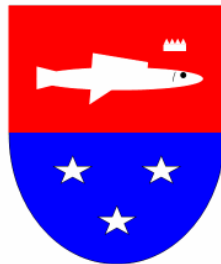
analyses des 5 composantes significantes (aux EW > 1) et confirment empiriquement et théoriquement de la logique aux signées.

2.2.1. Aux RUN = 1801 montre Cronbach's $\alpha \sim .645$, pour la reliabilité.

Extrait aux communalités (pour RUN = 1801) montre des resultats bien comparable entre la calculation SPSS (table 2.2.1.1.) à l'ordinateur et aux calculations à la main (à tab. 1.2., pour RUN = 1497).

*Table 2.2.1.1: communalités aux 13 CF des 16 CF
comme des variables, comparable table 1.2.*

| Var. CF | anfänglich | extrahiert | configuration |
|---------|------------|------------|---------------|
| 01 | 1,000 | .908*** | +++ + |
| 04 | 1,000 | .650*** | ++ - - |
| 05 | 1,000 | .878*** | + - + + |
| 06 | 1,000 | .937*** | + - + - |
| 07 | 1,000 | .982*** | + - - + |
| 08 | 1,000 | .892*** | + - - - |
| 09 | 1,000 | .915*** | - + + + |
| 10 | 1,000 | .700*** | - + + - |
| 11 | 1,000 | .968*** | - + - + |
| 12 | 1,000 | .858*** | - + - - |
| 13 | 1,000 | .908*** | - - + + |
| 15 | 1,000 | .984*** | - - - + |
| 16 | 1,000 | .895*** | - - - - |



*Table 2.2.1.2: explication de variance totale,
éclaircissement aux composantes ~ 88 %, rotations aux sommes des charges carrés :
5 composantes F aux valeurs propres EW > 1, significantes,
des 13 composantes, 8 composantes montrent EW < 1*

| Komponente | EW gesamt | Varianz % | Kumulation % |
|------------|-----------|-----------|--------------|
| F 1 | 3,114 | 23,954 % | 23,954 |
| F 2 | 2,577 | 19,827 % | 43,781 |
| F 3 | 1,978 | 15,219 % | 58,999 |
| F 4 | 1,965 | 15,118 % | 74,117 |
| F 5 | 1,840 | 14,155 % | 88,271 |

Aux 5 extraites aux composantes en matrice (F 1...5) aux 13 CF variables est appliqué de la convergence aux 7 itérations vers une matrice de rotation (Tab. 2.2.1.3.) :

Table 2.2.1.3. matrice aux composantes, des composantes (F 1..5) avec 13 variables entre CF 1..16

| Komp.: | F 1 | F 2 | F 3 | F 4 | F 5 |
|---------|-------|-------|-------|-------|-------|
| CF Var. | | | | | |
| 01 | .883 | -.077 | -.055 | .252 | .234 |
| 02 | - | - | - | - | - |
| 03 | - | - | - | - | - |
| 04 | .680 | -.054 | -.069 | -.342 | -.250 |
| 05 | .893 | -.096 | -.090 | .222 | .121 |
| 06 | .195 | .000 | -.037 | -.198 | .926 |
| 07 | -.091 | .985 | -.002 | -.041 | -.046 |
| 08 | -.084 | .910 | -.151 | -.110 | -.145 |
| 09 | .651 | .547 | -.076 | .267 | .339 |
| 10 | .007 | -.058 | -.078 | .830 | .043 |
| 11 | -.119 | -.069 | .973 | -.054 | -.013 |
| 12 | .391 | .036 | .071 | .836 | .021 |
| 13 | .654 | .655 | -.009 | .173 | .146 |
| 14 | - | - | - | - | - |
| 15 | -.037 | -.075 | .987 | .021 | -.043 |
| 16 | .010 | -.133 | -.027 | .436 | .828 |

Table 2.2.1.4: interprétations factorielles aux composantes principales

Die Komponenten als Hauptfaktoren (mit Eigenwerten EW > 1) zur CF 16 können folgendermassen interpretiert werden:

| Komponente: | Beschreibung/description: |
|-------------|---|
| F 1 | <i>neurotizistische Konflikthaftigkeit und Übertragung conflit névrotique et transfert,</i> |
| F 2 | <i>soziales Lernen zwischen Euphorie, Aversion und Übertragung apprentissage sociale entre euphorie, aversion, transfert,</i> |
| F 3 | <i>phobisch sensitive Aversion und Ambivalenz aversion sensitive-phobique et ambivalence</i> |
| F 4 | <i>starrer Aversions-Konflikt und reine Aversion conflit d'aversion obstiné et aversion pure</i> |
| F 5 | <i>starrer Narzizismus und Selbst-Verleugnung narcicisme obstiné et self-déniement / désaveu de soi même</i> |

Table 2.2.1.5: matrice des transformations aux composantes

| composantes - principales | F 1 | F 2 | F 3 | F 4 | F 5 |
|--|-------|------|-------|-------|-------|
| F 1 | .781 | .280 | -.204 | .391 | .342 |
| F 2 | -.104 | .864 | -.268 | -.305 | -.281 |
| F 3 | .056 | .339 | .925 | .158 | -.034 |
| F 4 | -.612 | .244 | -.122 | .520 | .529 |
| F 5 | .041 | .040 | .125 | -.677 | .723 |
| co-variance extraite aux valeurs composantes ~ | | | | | 1,000 |

Pour RUN = 1801 comme pour N = 18 +158 = 176 „cas“, tout les 5 composantes principales apparaissent de l'haute signifiante ($\alpha < 0,001$), et la validité factorielle affirme les logiques aux contenus des CF 13 entr CF 16.

Au passage 2.1 soit affirmé la validité dimensionale, au passage 2.2 la validité configurationale.

Cette analyse aux complexes montre aussi bien e-KFA comme algorithme à la main, sauf ordinateur.

Littérature ; voyez vous des autres parts aux fenêtres et attachements à la WEB site « Psychologisches Bulletin » de Kurt-Wilhelm Laufs, ©, Bobitz dés 2008

Anm.: Die Komplex-Analyse war bereits 1975 im Konzept-Exposé einer Auslands-Forschung des Verfassers anvisiert worden mit Untersuchung kognitiver Komplexität bei deutschen und niederländischen Stereotypen; DAAD Univ. Saarbrücken, KU-Nijmegen, 1975/76. Siehe auch WEB-Site des Autors, Fenster „Between Individual and Mass“ und Attachments dazu, wie „Nachbarn in Europa“, oder unter Fenster „Komplex-Analyse“ und Attachments.

Autor & Copyright, ©, Kurt-Wilhelm Laufs, DP, (phil. & min. med. fac), ev. KiR i.R., Zum Resthof 2, 23996 Bobitz, den 2010-02-21, 2010-02-27, rev. 2010-04-05, rev. 2010-05-28, 2010-12-09, 2010-12-29, 2011-01-12, 2011-06-25 ©, 2012-10-18, 2013-01-19, 2013-04-26, 2013-04-27, 2013-04-28, 2013-05-03, 2013-05-13, 2013-05-18, 2013-06-10, (update en langue française par l'auteur lui même) : 2014-11-27, 2014-11-28, ©

N'envoyez vous pas des e-mails, mieux des cartes postales !

Bitte keine e-mails, lieber Ansicht-Postkarten !